

بررسی انتروپی تولیدی در جریان دو فازی حلقوی همراه با پلیمر کاهندهٔ پسا

اسماعیل لکزیان*

امیرمحمد مسعودی فر

سیدمحمد مشکانی

چکیده

یکی از روش‌های کاهش تولید انتروپی در جریان‌های دو فازی حلقوی، استفاده از پلیمر کاهندهٔ پسا می‌باشد. پلیمر کاهندهٔ پسا، دارای وزن مولکولی بالا و از خانواده پلی‌الفین می‌باشد. در این تحقیق برای اولین بار، رابطه‌ای صریح جهت محاسبه انتروپی تولیدی در جریان دوفازی حلقوی همراه با پلیمر کاهندهٔ پسا ارائه شده است. رابطه مذکور تابعی از قطر لوله و سرعت‌های ظاهری می‌باشد. تغییرات انتروپی بر حسب میزان کاهش نیروی پسا و پسماند مایع در قطرهای ۰۱۲۷، ۰۰۲۵۴ و ۰۰۹۵۳ متر و در سرعت‌های مختلف ظاهری ارائه شده است. نتایج نشان می‌دهد که رابطه تولید انتروپی با افزایش پلیمر کاهندهٔ پسا، پسماند مایع و قطر لوله به صورت نزولی بوده است ولی با افزایش سرعت‌های ظاهری گاز و مایع، میزان انتروپی تولیدی افزایش می‌یابد. بنابراین در صنایع مرتبط با اضافه کردن پلیمر کاهندهٔ پسا و تعیین صحیح پارامترهایی از قبیل قطر لوله و سرعت‌های ظاهری جریان با استفاده از رابطه‌ی ارائه شده در این تحقیق، می‌توان میزان تلفات کاهش و میزان تولید افزایش داده شود.

واژه‌های کلیدی: انتروپی تولیدی، پلیمر کاهندهٔ پسا، سرعت ظاهری، دوفازی.

Investigation of the Entropy Generation in Annular Two-Phase Flow with Drag-Reducing Polymer

E. Lakzian

Department of Mechanical Engineering, Hakim Sabzevari University, Sabzevar, Iran

A. M. Masoudifar

Department of Mechanical Engineering, Hakim Sabzevari University, Sabzevar, Iran

S. M. Mashkani

Department of Chemical Engineering, Hakim Sabzevari University, Sabzevar, Iran

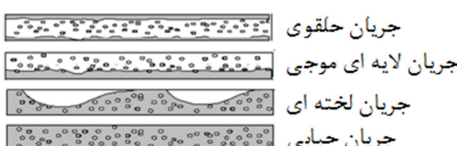
Abstract

It is convenient method to use a drag-reducing polymer to reduce entropy generation in annular two-phase flow. The drag-reducing polymer is a high molecular weight poly-alpha-olefin. In present paper for the first time, the explicit equation has been presented for the prediction the entropy generation in annular flow with drag-reducing polymer. The equation is function of the pipe diameter and superficial velocities. Entropy generation (S''_{gen}) versus drag-reduction (DR) and holdup (λ_1) in different pipes' diameter (0.0127, 0.0254 and 0.0953m) and in different superficial velocities are presented. The results are shown that entropy generation decreases with increasing DR , λ_1 and pipe diameter but entropy generation increases with increasing gas and liquid superficial velocities. Therefore by adding drag-reducing polymer and correct determination of pipe diameter and superficial velocities using the presented explicit equation in this research, could be reduced the losses and increased in the production in related industries.

Keywords: Entropy generation, Drag-reducing polymer, Superficial velocity, Two-phase.

۱- مقدمه

این الگوهای جریان به صورت طرحواره در شکل ۱ نشان داده شده‌اند.



شکل ۱- الگوهای جریان در لوله افقی [۱]

تولید انتروپی نشان دهندهٔ میزان تلفات در یک فرایند می‌باشد [۲]. با تحلیل انتروپی تولیدی می‌توان نشان داد که چه پارامترهایی باعث افزایش تلفات در فرآیند شده، که با کنترل این پارامترها می‌توان

وقتی دو یا چند فاز به طور همزمان در لوله‌ها جریان می‌یابند، اصطلاحاً جریان دو فاز یا چند فاز نامیده می‌شوند. شاید مهم‌ترین جنبه جریان چند فازی، تنوع در توزیع فیزیکی فازها در مسیر عبور جریان می‌باشد که این ویژگی تحت عنوان الگوی جریان یا رژیم جریان شناخته می‌شود. یکی از علل تغییرات در گردابیان رشار و قوع الگوهای جریان مختلف می‌باشد. اندازه نیروهای شناوری، آشفتگی، اینرسی و کشش سطحی در فازهای مختلف تا حد زیادی با توجه به دبی جریان، قطر لوله، زاویه شبی و خواص فارها تغییر می‌کنند. بگز و بریل تحقیقاتی که الگوهای جریان چندفازی را بررسی کرده بودند را دسته‌بندی کردند [۱]. برای جریان چند فازی افقی گاز و مایع، اکثر محققان وجود چهار الگوی جریانی را مشخص کرده‌اند:

* نویسنده مکاتبه کننده، آدرس پست الکترونیکی: e.lakzian@hsu.ac.ir

تاریخ دریافت: ۹۴/۱۰/۱۵

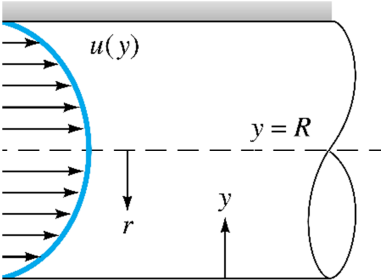
تاریخ پذیرش: ۹۵/۱۱/۱۸

میزان تلفات در یک فرآیند را کاهش داد^[۳]. از آنجایی تولید انتروپی معیاری از نابودی قابلیت کاردهی در فرآیندها است، تعیین آن در موضوع افزایش بازدهی ضروری می‌باشد^[۴].

یکی از روش‌های کاهش تلفات در جریان دو فازی حلقوی همراه با پلیمر کاهنده‌ی پسا انجام نشده است. بدین جهت در این تحقیق برای اولین بار به صورت تحلیلی رابطه‌ای صریح برای محاسبه انتروپی تولیدی در جریان دوفازی حلقوی همراه با پلیمر کاهنده‌ی پسا ارائه شده است. مطالعه حاضر در قطرهای گاز ۲۰، ۲۵ و ۳۰ متر بر ثانیه و سرعت‌های ظاهری مایع ۰/۱، ۰/۲ و ۰/۳ متر بر ثانیه انجام شده است و از معادلات مخرجی و بریل^[۱] جهت مدلسازی جریان حلقوی استفاده شده است.

۲- شرح مسئله

هدف از این مطالعه، بررسی تاثیر استفاده از پلیمر کاهنده‌ی پسا بر انتروپی تولیدی می‌باشد. طرحواره مسئله در شکل (۲) ارائه شده است.



شکل ۲- طرحواره مسئله

میزان کاهش نیروی پسا (DR) از رابطه‌ی زیر محاسبه می‌شود^[۱۸]:

$$DR = \frac{f_{\text{with out DRA}} - f_{\text{with DRA}}}{f_{\text{with out DRA}}} \quad (1)$$

السارخی و همکاران^[۱۷] رابطه زیر را برای محاسبه ضریب اصطکاک همراه با پلیمر کاهنده‌ی پسا در جریان دو فازی حلقوی ارائه کردند:

$$f = 3.36 \times 10^{-7} \frac{D_0}{D} (Re_m \left(\frac{V_{sg}}{V_{sl}} \right)^{0.5})^{0.595} \quad (2)$$

که در آن D_0 قطر اولیه لوله بوده و برابر $۰/۰۱۲۵$ متر می‌باشد، رینولدز مخلوط^۱ از رابطه^(۳) محاسبه می‌شود:

$$Re_m = \frac{U_m D}{V_l} \quad (3)$$

که در رابطه‌ی بالا U_m به صورت زیر محاسبه می‌شود:

$$U_m = V_{sl} + V_{sg} \quad (4)$$

که سرعت ظاهری مایع یعنی سرعت فاز مایع در غیاب فاز گاز در دما و فشار جریان چند فازی و سرعت ظاهری گاز یعنی سرعت فاز گاز در غیاب فاز مایع در دما و فشار جریان چند فازی می‌باشد^[۱۹].

^۱ Mix Reynolds

که با فرض همدما بی جمله اول حذف و انتروپی به صورت زیر محاسبه می‌شود:

$$S_{gen}''' = \frac{\mu}{T} \varphi > 0 \quad (7)$$

در رابطه‌ی (۶) دمای محیط 200°C کلوین است و φ به صورت زیر بدست می‌آید:

$$\varphi = 2 \left[\left(\frac{\partial u}{\partial x} \right)^2 + \left(\frac{\partial v}{\partial y} \right)^2 + \left(\frac{\partial w}{\partial z} \right)^2 \right] + \left(\frac{\partial u}{\partial y} + \frac{\partial v}{\partial x} \right)^2 + \left(\frac{\partial u}{\partial z} + \frac{\partial w}{\partial x} \right)^2 + \left(\frac{\partial v}{\partial z} + \frac{\partial w}{\partial y} \right)^2 \quad (8)$$

با توجه به اینکه پروفیل سرعت تابع u باشد، همچنین با فرض توسعه‌یافته بودن جریان و صرف نظر از اصطکاک در راستای x ، φ به صورت زیر محاسبه می‌شود:

$$\varphi = \left(\frac{\partial u}{\partial y} \right)^2 \quad (9)$$

در رابطه‌ی (۸) $y = R - r$ بوده است و در اینجا $0 = R - r$ می‌باشد و

در نتیجه رابطه (۸) به صورت زیر تبدیل می‌شود:

$$\frac{\partial u}{\partial y} = \frac{u_\tau}{kR} \quad (10)$$

با توجه به روابط بالا انتروپی به صورت زیر بدست می‌آید:

$$S_{gen}''' = \frac{\mu}{T} \left(\frac{u_\tau}{kR} \right)^2 \quad (11)$$

۴-نتایج و بحث

در این بخش اثرات قطر لوله، سرعت جریان، پسماند مایع و پلیمر کاهنده‌ی پسا بر تولید انتروپی بررسی شده است.

۴-۱-تأثیر سرعت‌های ظاهری بر انتروپی تولیدی

در شکل ۴ تغییرات انتروپی تولیدی بر حسب میزان کاهش نیروی پسا در سرعت‌های ظاهری مایع $0.01, 0.02, 0.03, 0.04$ متر بر ثانیه و قطرهای $127, 254, 406, 953$ میکرومتر نشان داده شده است. با توجه به این شکل، نحوه تغییرات انتروپی با میزان کاهش نیروی پسا به صورت نزولی بوده و همچنین با افزایش سرعت ظاهری مایع، انتروپی تولیدی افزایش می‌یابد.

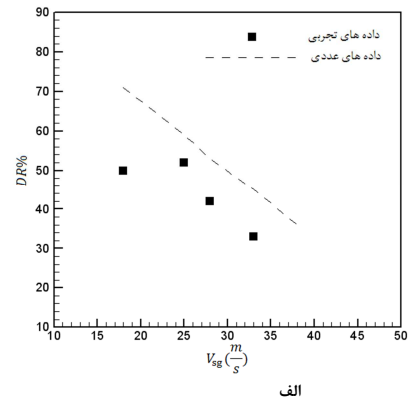
در شکل ۵ تغییرات انتروپی تولیدی بر حسب میزان کاهش نیروی پسا در سرعت‌های ظاهری گاز $20, 25, 30, 35$ متر بر ثانیه و قطرهای $127, 254, 406, 953$ میکرومتر نشان داده شده است. با توجه به این شکل، تغییرات انتروپی با میزان کاهش نیروی پسا به صورت نزولی بوده و همچنین با افزایش سرعت ظاهری گاز، انتروپی تولیدی افزایش می‌یابد.

۴-۲-تأثیر تغییرات قطر بر انتروپی تولیدی

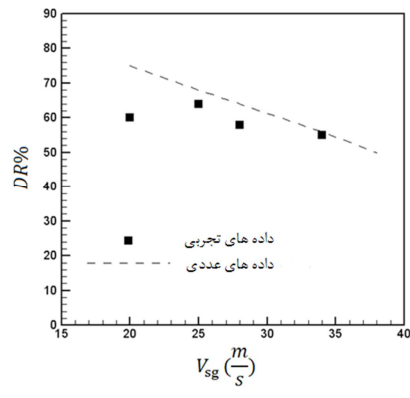
در این قسمت به بررسی اثر تغییرات قطر، بر تولید انتروپی پرداخته می‌شود. در شکل ۶ تغییرات انتروپی تولیدی بر حسب کاهش نیروی پسا در قطرهای $127, 254, 406, 953$ میکرومتر و نسبت سرعت ظاهری گاز به مایع $300, 350, 400$ ارائه شده است. با افزایش قطر لوله در یک دبی ثابت، میزان برخورد و تلفات بین فاز مایع و گاز کاهش می‌یابد و با افزایش قطر لوله میزان انتروپی تولیدی کاهش می‌یابد. همچنین با توجه به شکل ۶، تغییرات انتروپی با میزان کاهش نیروی پسا به صورت نزولی بوده و همچنین با افزایش قطر، انتروپی تولیدی کاهش می‌یابد.

۱-۲-اعتبار سنجی رابطه السارخی

در شکل ۳ تغییرات کاهش نیروی پسا بر حسب سرعت ظاهری گاز در قطر 127 میکرومتر، سرعت ظاهری مایع $0.01, 0.02, 0.03, 0.04$ متر بر ثانیه نشان داده شده است. در این شکل می‌توان اطباق خوبی بین داده‌های آزمایشگاهی و نتایج معادله السارخی [۱۵] را مشاهده کرد. بنابراین از این رابطه می‌توان جهت محاسبه میزان کاهش نیروی پسا استفاده کرد.



الف



ب

شکل ۳- تغییرات کاهش نیروی پسا بر حسب سرعت ظاهری گاز در قطر 127 میکرومتر، (الف) سرعت ظاهری مایع 0.04 متر بر ثانیه (ب) سرعت ظاهری مایع 0.01 متر بر ثانیه [۱۵]

۳-انتروپی

برای محاسبه انتروپی تولیدی در جریان دو فازی حلقوی ابتدا باید پروفیل سرعت تعیین شود. پروفیل سرعت در لایه مرزی در ناحیه همپوشانی^۱ به صورت لگاریتمی و بر مبنای ۷ (شکل ۲) را ببینید. به صورت زیر می‌باشد [۲۰]:

$$\frac{U_m}{U_\tau} = \frac{1}{K} \ln \left(\frac{y U_\tau}{v_l} \right) + B \quad (5)$$

که در رابطه‌ی (۴) $U_\tau = \sqrt{\frac{v_w}{\rho_1}}$. انتروپی تولیدی از رابطه‌ی زیر محاسبه می‌شود [۲۱]:

$$S_{gen}''' = \frac{k}{T^2} (\nabla T)^2 + \frac{\mu}{T} \varphi > 0 \quad (6)$$

¹ Overlap

۳-۴- تأثیر پسمند مایع بر انتروپی تولیدی

پسمند مایع یعنی بخشی از لوله که توسط مایع اشغال شده به حجم کل لوله که به صورت زیر تعریف می‌شود:

$$\lambda_l = \frac{q_l}{q_l + q_g} \quad (12)$$

که q_l از رابطه زیر بدست می‌آید:

$$q_l = V_{sl} A_p \quad (13)$$

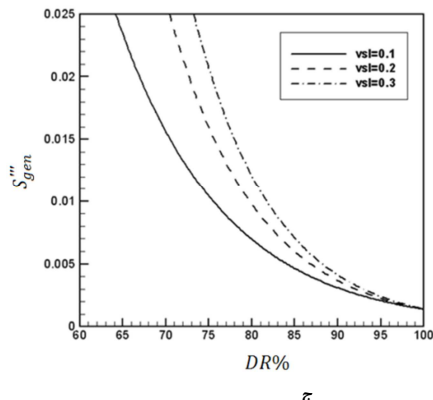
و q_g از رابطه زیر بدست می‌آید:

$$q_g = V_{sg} A_p \quad (14)$$

که با اعمال روابط (۱۳) و (۱۴)، رابطه (۱۲) به صورت زیر محاسبه می‌شود [۱۹]:

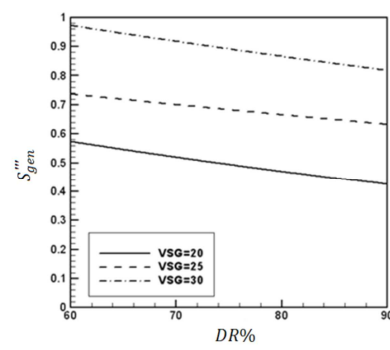
$$\lambda_l = \frac{V_{sl}}{V_{sl} + V_{sg}} \quad (15)$$

شکل ۷ تغییرات انتروپی تولیدی بر حسب پسمند مایع در سرعت‌های ظاهری مایع $0.01, 0.02, 0.03$ متر بر ثانیه و قطرهای $0.953, 0.954, 0.955$ و 0.956 متر نشان داده شده است. با توجه به این شکل، تغییرات انتروپی با پسمند مایع به صورت نزولی بوده، که این نزولی بودن به این دلیل می‌باشد که، با افزایش پسمند مایع در یک سرعت ظاهری مایع ثابت، در واقع حجم کل اشغال شده توسط فاز گاز کم شده که به طور طبیعی میزان تلفات نیز باید کاهش یابد، یعنی اینکه با افزایش پسمند مایع، میزان تلفات باید کاهش یابد. همچنین در شکل ۷، با افزایش سرعت ظاهری مایع، میزان تولید انتروپی نیز افزایش می‌یابد.

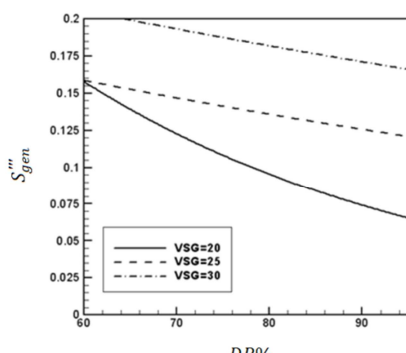


ج

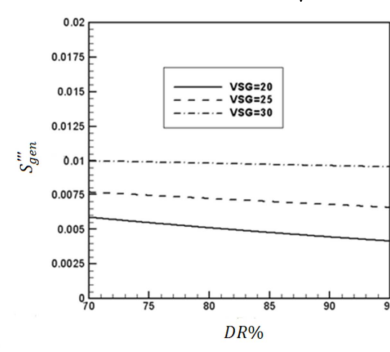
شکل ۴- تغییرات انتروپی تولیدی بر حسب کاهش نیروی پسا در سرعت‌های ظاهری مایع $0.01, 0.02, 0.03$ متر بر ثانیه متر بر ثانیه (الف) قطر 0.953 متر (ب) قطر 0.954 متر (ج) قطر 0.955 متر



الف

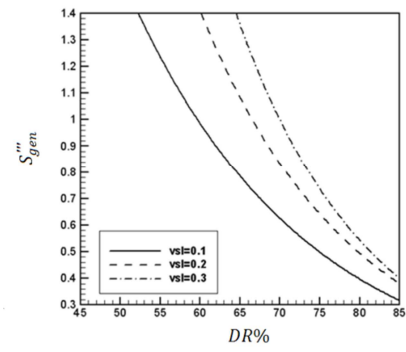


ب

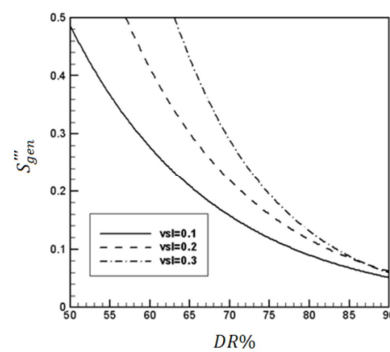


ج

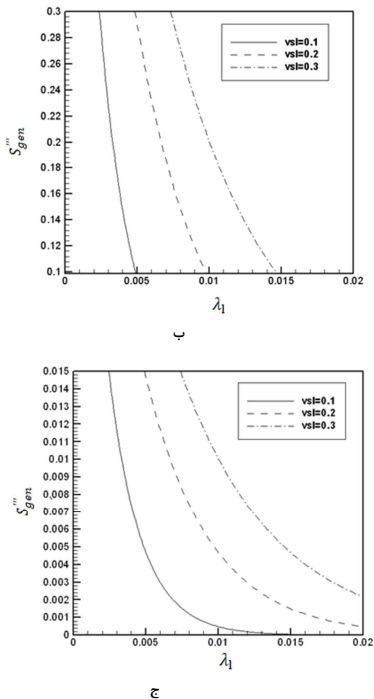
شکل ۵- تغییرات انتروپی تولیدی بر حسب کاهش نیروی پسا در سرعت‌های ظاهری گاز $0.01, 0.02, 0.03$ متر بر ثانیه (الف) قطر 0.953 متر (ب) قطر 0.954 متر (ج) قطر 0.955 متر



الف



ب



شکل ۷- تغییرات انتروپی تولیدی بر حسب پسماند مایع در سرعتهای ظاهری مایع $0/02/0/03$ متر بر ثانیه (الف) قطر $0/127$ متر (ب) قطر $0/953$ متر (ج) قطر $0/0254$

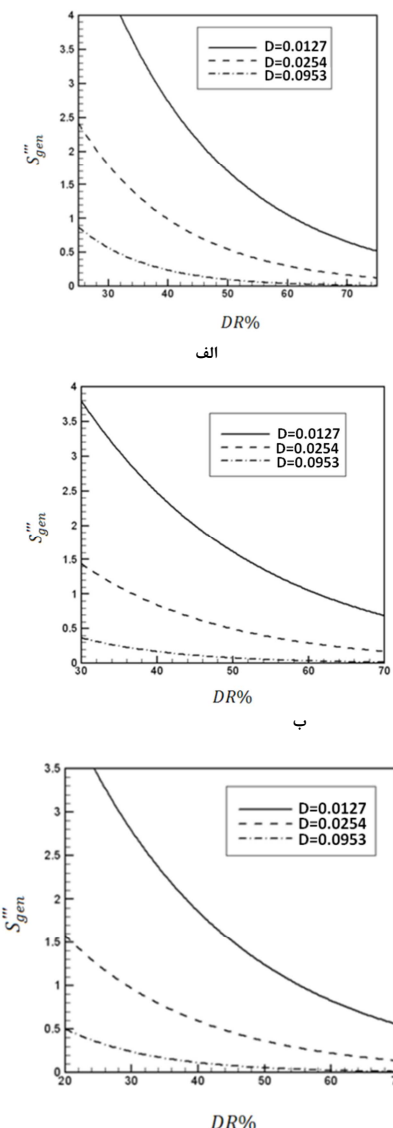
۵- نتیجه گیری

در این تحقیق، جریان دو فازی حلقوی با استفاده از مدل محرجی و بریل بررسی شده است. رابطه‌ای صریح جهت محاسبه انتروپی تولیدی در جریان دوفازی حلقوی همراه با پلیمر کاهنده‌ی پسا ارائه شده است. تاثیر تغییرات پلیمر کاهنده‌ی پسا، قطر و سرعتهای ظاهری بر انتروپی تولیدی بررسی شده است. مطالعه در قطرهای $0/127$ ، $0/0254$ و $0/0953$ متر و سرعت ظاهری گاز 20 ، 25 و 30 متر بر ثانیه انجام شد. بر اساس نتایج خلاصه موارد زیر حاصل می‌گردد:

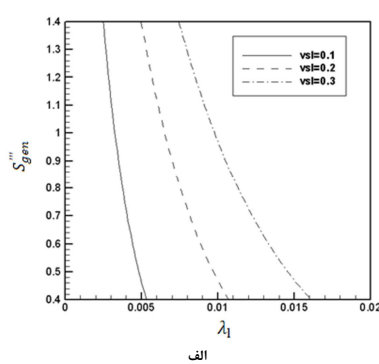
۱. تولید انتروپی با افزایش پلیمر کاهنده‌ی پسا و پسماند مایع کاهش یافته است.
 ۲. سرعت ظاهری مایع و سرعت ظاهری گاز با انتروپی تولیدی رابطه مستقیم دارد، یعنی اینکه می‌توان با کاهش سرعتهای ظاهری، میزان تلفات را کاهش داد.
 ۳. با افزایش قطر لوله، انتروپی تولیدی کاهش می‌یابد.
- بنابراین با استفاده از رابطه‌ی ارائه شده جهت محاسبه انتروپی در این تحقیق می‌توان انتخابی مناسب برای پارامترهایی از قبیل قطر لوله و سرعتهای ظاهری جریان داشته باشیم و بدینوسیله در صنایع مرتبط، میزان تلفات کاهش و میزان تولید افزایش داده شود.

۶- فهرست علایم

ماده کاهنده پسا	DRA
ضریب اصطکاک	f
سرعت ظاهری گاز ($m s^{-1}$)	V_{sg}



شکل ۶- تغییرات انتروپی تولیدی بر حسب کاهش نیروی پسا در قطرهای $0/127$ ، $0/0254$ و $0/0953$ متر (الف) نسبت سرعت ظاهری گاز به مایع 300 (ج) نسبت سرعت ظاهری گاز به مایع 400



- [11] Al-Sarkhi A., Hanratty T., Effect of drag reducing polymers on annular gas–liquid flow in horizontal pipe". Int. J. Multiphase Flow, Vol. 27, pp. 1151–1162, 2001a.
- [12] Al-Sarkhi A., Hanratty T., Effect of pipe diameter on the performance of drag-reducing polymers in annular gas–liquid flows, Trans IChemE Part A, Vol. 79, pp. 402–408, 2001b.
- [13] Al-Sarkhi A., Soleimani A., Effect of drag reducing polymer on two-phase gas–liquid flows in a horizontal pipe. Trans. IChemE, Part A, pp. 1583–1588, 2004.
- [14] Jubran B. A., Zurigat Y. H., Goosen M. F. A., Drag Reducing Agents in Multiphase Flow Pipelines: Recent Trends and Future Needs. Petroleum Science and Technology, Vol. 23, pp. 1403–1424, 2005.
- [15] Al-Sarkhi A., Abu-Nada E., Batayneh M., Effect of drag reducing polymer on air-water annular flow in an inclined pipe, Int. J. Multiphase Flow, Vol. 32, pp. 926–934, 2006.
- [16] Al-Yaari A., Soleimani M., Abu-Sharkh B., Al-Mubaiyedh U., Al-Sarkhi A., Effect of drag reducing polymers on oil–water flow in a horizontal pipe, Int. J. Multiphase Flow, Vol. 35, pp. 516–524, 2009.
- [17] Al-Sarkhi A., El Nakla M., Ahmed H. W., Friction factor correlations For gas–liquid/liquid–liquid flows with drag-reducing polymers in horizontal pipes, International Journal of Multiphase Flow, Vol. 37, pp. 501–506, 2011.
- [18] Karami H. R., Mowla D., A general model for predicting drag reduction in crude oil pipelines Journal of
- [19] The Norwegian Society for Oil and Gas Measurement, HANDBOOK OF MULTIPHASEFLOW METERING, Revision 2, March 2005.
- [20] AvciI., Karagoz A., A Novel Explicit Equation for Friction Factor in Smooth And Rough Pipes Int. J. ASME, Vol. 131, pp. 061203-1-061203-3, 2009.
- [21] Benjana., The thermodynamic design of heat and mass transfer processes and devices. International journal of heat and fluid flow, Vol. 8, pp. 258–276, 1987.

سرعت ظاهری مایع ($m s^{-1}$)	V_{sl}	نیوتنی
رینولدز مخلوط	Re_m	نیوتنی
قطر (m)	D	نیوتنی
میزان کاهش نیروی پسا	$DR\%$	نیوتنی
ثابت فون کارمن	K	نیوتنی
انتروپی تولیدی	S''_{gen}	نیوتنی
پسماند	λ_l	نیوتنی
($m^3 s^{-1}$) دبی مایع	q_l	نیوتنی
($m^3 s^{-1}$) دبی گاز	q_g	نیوتنی
(m^2) سطح کل لوله	A_P	نیوتنی
ثابت جریان آشفته	B	نیوتنی
(K) دمای محیط	T	نیوتنی
تغییرات پروفیل سرعت در راستای Y	Y	نیوتنی

حروف یونانی	
لزجت سینماتیکی مایع (v_l
($pa.s$) لزجت	μ
($N.m^{-2}$) تنش برشی دیواره	τ_w

زیرنویس ها	
مخلوط	m
ظاهری مایع	sl
ظاهری گاز	sg
گاز	g
مایع	l

۷- مراجع

- [1] Brill P., Mukhrejee H., *Handbook of Multiphase Flow in wells*, pp. 13-80, 2011.
- [2] Cengel Y. A., Boles M. A., *Thermodynamics an Engineering Approach*. Fifth ed., McGraw-Hill, 2006.
- [3] Oztop H. F., Al-SalemK., A review on entropy generation in natural and mixed convection heat transfer for energy systems, Renewable and Sustainable Energy Reviews, Vol. 16, No. 1, pp. 911-920, 2012.
- [4] Bejan A., Second law analysis in heat transfer, Energy, Vol. 5, No. 8, pp. 721-732, 1980.
- [5] Fernandes R. L. J., Jutte B. M., Rodriguez M. G., Drag reduction in horizontal annular two-phase flow. Int. J. Multiphase Flow, Vol. 30, pp. 1051–1069, 2004.
- [6] Oliver D. R., Young Hoon A., Two-phase non-Newtonian flow. Trans. Inst.Chem. Eng, pp 46-106, 1968.
- [7] Rosehart R. G., Scott D., and Rhodes E., Gas–liquid slug flow with drag-reducing polymer solutions, AIChE J, Vol. 18(4), pp. 744–750, 1972.
- [8] Sylvester N. D., Brill J. P., Drag reduction in two-phase annular mist flow of air and water. AIChE J, Vol. 22, pp. 615–617, 1976.
- [9] Kang C., Jepson W. P., Multiphase flow conditioning using drag-reducing agents. Society of Petroleum Engineers, SPE 56569. Kang C., Jepson W. P., 2000. Effect of drag-reducing agents in multiphase, oil/gas horizontal flow. Society of Petroleum Engineers, SPE 58976 1999.
- [10] Manfield C. J., Lawrence C., Hewitt G., Drag-reduction with additive in multiphase flow: a literature survey. Multiphase Sci. Technol, Vol. 11, pp. 197–221, 1999.